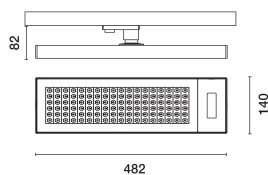


Letzte Aktualisierung der Informationen: April 2025

### Produktkonfiguration: PZ34.S1

PZ34.S1: Beleuchtungskörper L=482 - Organic Response - Optik Very Wide Flood (Down) - UGR<19 - 18.5W 2479.5lm - 4000K - CRI 90 - Weiß/Weiß/Weiß Durchsichtig



### Produktcode

PZ34.S1: Beleuchtungskörper L=482 - Organic Response - Optik Very Wide Flood (Down) - UGR<19 - 18.5W 2479.5lm - 4000K - CRI 90 - Weiß/Weiß/Weiß Durchsichtig

### Beschreibung

Lichtkörper aus lackiertem stranggepresstem Aluminium, Rahmen und Deckel aus Spritzguss-Thermoplast. Optik Very Wide Flood (80°) in Ausführung Space Opti-Diamond (PMMA) mit weißem (durchsichtig weiß) oder schwarzem (durchsichtig schwarz) Deckel auf der Rückseite. Eingebaute Versorgungseinheit und einfarbige LED-Lichtquelle (Mid-Power) 4000K CRI90 mit Direktausstrahlung (Down). Ausführung für kontrollierte Leuchtdichte UGR< 19 - gemäß Norm für den Einsatz in Flächen mit starker Bildschirmnutzung ( $\leq 3000 \text{ cd/m}^2$ ). Leuchte komplett mit drahtloser Multisensor-Organic Response, mit Licht- und Bewegungsmelder. Wirepas-Technologie, Bluetooth und PIR-Erfassung. In Grundsystemen mit Plug&Play-Konfiguration, ermöglicht der Multisensor Organic Response den Leuchten, im Stand-alone-Modus (Motion Control) betrieben zu werden und drahtlos mit anderen benachbarten Organic Response-Multisensoren zu kommunizieren. Für erweiterte Funktionen wie Aktivierung der Daylight-Steuerung und Änderung der Einstellungsparameter kann die App Organic Response eingesetzt werden, die im A.pp Store und Play Store erhältlich ist. Es sind Zubehörteile wie BLE-Tastenfeld, Dongle und Gateway für Systemarchitekturen erhältlich, die mit dem Organic Response-Portal verbunden sind, über das sich weitere Funktionen des Multisensors aktivieren lassen, wie Analytics (bspw. occupancy). Drahtlosfrequenz 2,4 GHz / IR 38 kHz. Eingebautes Beacon, das über das Organic Response-Portal aktivierbar ist (iBeacon-Protokoll). Mit der Möglichkeit einer 360° Drehung um die Senkrechte mit mechanischer Drehsperre.

### Installation

Einbau an Schiene mit Netzspannung.

Positionierungshöhe min. 2.7 m / max. 3.7 m. Abstand zwischen den Leuchten min. 1.0 m / max. 3.0 m.

Für die korrekten Abstände/Positionshöhen der Organic Response-Module iGuzzini kontaktieren oder die Montageanleitung konsultieren.

Typischer Funktionsradius des Bewegungsmelders: 3 m (@ 2,7 m Einbauhöhe), 58°

### Farben

Weiß/Weiß/Weiß Durchsichtig (S1)

### Gewicht (Kg)

1.66

### Anmerkungen

Spezifikationen:

DefaultWerte Plug&Play (über App Organic Response Express änderbar):

- Maximale Lichtstärke in Präsenz (max light): 100%
- Dauer für Übergang zur niedrigen Lichtstärke (dwell time): 10 min
- Lichtstärke im Niedrigbereich (low light): 10%
- Lichtdauer im Niedrigbereich (low light time): 10 min
- Mindest-Lichtstärke nach Verstreichen der Niedrigbereich-Dauer (min light): 0% (OFF)
- Daylight-Steuerung: aus
- Doppeltes Tempo (Double Dwell Time) des Sensors, der die letzte Präsenz erfasst hat: aus
- RF-Mesh Sensor-Sensor-Gateway: Wirepas, Höchstabstand 8m (Luftlinie ohne Hindernisse).
- Verbindung Sensor-Smartphone-Tastenfeld: Bluetooth.

Für die erweiterte Programmierung mit dem Portal Organic Response sind der Dongle IR X687 und das Gateway X685 erforderlich.

Gemäß der Normen EN60598-1 u. Sondernormen



### Technische Daten

|   |       |   |  |
|---|-------|---|--|
| Im System:  | 2480  | MacAdam Step:                                   | 3  |
| W System:   | 15    | Lampencode:                                     | LED  |
| Im Lichtquelle:   | 2850  | Anzahl Lampen in Leuchtengehäuse:               | 1  |
| W Lichtquelle:  | 15    | ZVEI-Code:                                      | LED  |
| Lichtausbeute (lm/W, Systemwert):                           | 165.3 | Anzahl Leuchtengehäuse:                         | 1  |
| Im im Notlichtbetrieb:                                      | -     | Leistungsfaktor:                                | Sehen Montageanleitung   |
| abgegebener Lichtstrom bei/ über einem Winkel von 90° [lm]: | 0     | Einschaltstrom:                                 | 10 A / 220 µs  |
| Leuchtenbetriebswirkungsgrad 87 (L.O.R.) [%]:               |       | maximale Anzahl Leuchten pro Sicherungsautomat: | B10A: 18 Leuchten<br>B16A: 30 Leuchten<br>C10A: 31 Leuchten<br>C16A: 51 Leuchten |
| CRI (minimum):  | 90    | Minimaler Dimmwert %:                           | 1  |
| Farbtemperatur [K]:   | 4000  | Überspannungsschutz:                            | 2kV Gleichtaktspannung und 1kV Gegentaktspannung                                 |

|      | R  | 77 | 75 | 73 | 71 | 55 | 53 | 33 | 00 | DRR |
|------|----|----|----|----|----|----|----|----|----|-----|
| K0.8 | 72 | 67 | 63 | 60 | 66 | 62 | 62 | 58 | 67 |     |
| 1.0  | 77 | 72 | 68 | 65 | 71 | 67 | 67 | 63 | 73 |     |
| 1.5  | 82 | 79 | 75 | 73 | 77 | 75 | 74 | 70 | 81 |     |
| 2.0  | 86 | 83 | 80 | 78 | 82 | 79 | 78 | 75 | 87 |     |
| 2.5  | 88 | 85 | 84 | 82 | 84 | 82 | 81 | 78 | 90 |     |
| 3.0  | 89 | 87 | 86 | 84 | 86 | 85 | 83 | 81 | 93 |     |
| 4.0  | 91 | 89 | 88 | 87 | 88 | 87 | 85 | 83 | 95 |     |
| 5.0  | 91 | 90 | 89 | 88 | 89 | 88 | 86 | 84 | 96 |     |

Figure 1 is a graph showing the relationship between the angle of incidence ( $\alpha$ ) and the irradiance ( $E$ ) for different surface materials (A, B, C) at various wavelengths (2000, 1000, 500, 750, 500, 1000, 500, <300 nm). The x-axis represents irradiance in  $\text{cd/m}^2$  on a logarithmic scale from  $10^{-2}$  to  $10^4$ . The y-axis represents the angle of incidence  $\alpha$  in degrees from  $45^\circ$  to  $85^\circ$ . Three curves are shown: A (red dashed), B (cyan solid), and C (black solid). The curves show that for a given angle, the irradiance required increases with wavelength. The legend indicates that for wavelengths <300 nm, the irradiance is 500  $\text{cd/m}^2$  for A, 1000  $\text{cd/m}^2$  for B, and 2000  $\text{cd/m}^2$  for C.

# UGR-Diagramm

| Corrected UGR values (at 2850 lm bare lamp luminous flux)        |     |                     |            |      |            |      |                   |      |      |      |      |  |
|--|-----|---------------------|------------|------|------------|------|-------------------|------|------|------|------|--|
| Reflect.:<br>ceiling/cav<br>walls<br>work pl.<br>Room dim<br>x y |     | 0.70                | 0.70       | 0.50 | 0.50       | 0.30 | 0.70              | 0.70 | 0.50 | 0.50 | 0.30 |  |
|  |     | 0.50                | 0.30       | 0.50 | 0.30       | 0.30 | 0.50              | 0.30 | 0.50 | 0.30 | 0.30 |  |
|  |     | 0.20                | 0.20       | 0.20 | 0.20       | 0.20 | 0.20              | 0.20 | 0.20 | 0.20 | 0.20 |  |
|  |     | viewed<br>crosswise |            |      |            |      | viewed<br>endwise |      |      |      |      |  |
| 2H   | 2H  | 14.3                | 15.1       | 14.6 | 15.4       | 15.6 | 13.6              | 14.4 | 13.9 | 14.6 | 14.8 |  |
|  | 3H  | 14.4                | 15.1       | 14.8 | 15.4       | 15.7 | 13.5              | 14.2 | 13.8 | 14.5 | 14.8 |  |
|  | 4H  | 14.5                | 15.1       | 14.8 | 15.4       | 15.7 | 13.5              | 14.1 | 13.8 | 14.4 | 14.7 |  |
|  | 6H  | 14.5                | 15.1       | 14.8 | 15.4       | 15.7 | 13.4              | 14.0 | 13.8 | 14.3 | 14.6 |  |
|  | 8H  | 14.5                | 15.0       | 14.8 | 15.4       | 15.7 | 13.4              | 13.9 | 13.7 | 14.3 | 14.6 |  |
|  | 12H | 14.4                | 15.0       | 14.8 | 15.3       | 15.7 | 13.3              | 13.9 | 13.7 | 14.2 | 14.6 |  |
| 4H   | 2H  | 14.2                | 14.8       | 14.5 | 15.1       | 15.5 | 13.6              | 14.3 | 14.0 | 14.6 | 14.9 |  |
|  | 3H  | 14.3                | 14.9       | 14.7 | 15.2       | 15.6 | 13.6              | 14.2 | 14.0 | 14.5 | 14.9 |  |
|  | 4H  | 14.4                | 14.9       | 14.8 | 15.3       | 15.6 | 13.6              | 14.1 | 14.0 | 14.4 | 14.8 |  |
|  | 6H  | 14.4                | 14.9       | 14.9 | 15.3       | 15.7 | 13.6              | 14.0 | 14.0 | 14.4 | 14.8 |  |
|  | 8H  | 14.4                | 14.8       | 14.9 | 15.2       | 15.7 | 13.5              | 13.9 | 14.0 | 14.3 | 14.8 |  |
|  | 12H | 14.4                | 14.8       | 14.9 | 15.2       | 15.7 | 13.5              | 13.8 | 13.9 | 14.3 | 14.7 |  |
| 8H   | 4H  | 14.3                | 14.7       | 14.8 | 15.1       | 15.6 | 13.6              | 14.0 | 14.1 | 14.4 | 14.8 |  |
|  | 6H  | 14.4                | 14.7       | 14.9 | 15.2       | 15.6 | 13.6              | 13.9 | 14.1 | 14.4 | 14.8 |  |
|  | 8H  | 14.4                | 14.7       | 14.9 | 15.1       | 15.6 | 13.6              | 13.9 | 14.1 | 14.3 | 14.8 |  |
|  | 12H | 14.4                | 14.6       | 14.9 | 15.1       | 15.6 | 13.6              | 13.8 | 14.1 | 14.3 | 14.8 |  |
| 12H  | 4H  | 14.3                | 14.6       | 14.7 | 15.1       | 15.5 | 13.6              | 13.9 | 14.0 | 14.4 | 14.8 |  |
|  | 6H  | 14.4                | 14.6       | 14.8 | 15.1       | 15.6 | 13.6              | 13.9 | 14.1 | 14.3 | 14.8 |  |
|  | 8H  | 14.4                | 14.6       | 14.9 | 15.1       | 15.6 | 13.6              | 13.8 | 14.1 | 14.3 | 14.8 |  |
| Variations with the observer position at spacing:                |     |                     |            |      |            |      |                   |      |      |      |      |  |
| S =  |     | 1.0H                | 2.8 / -4.0 |      | 3.0 / -4.4 |      |                   |      |      |      |      |  |
|  |     | 1.5H                | 5.2 / -4.6 |      | 5.3 / -5.0 |      |                   |      |      |      |      |  |
|  |     | 2.0H                | 7.2 / -5.1 |      | 7.2 / -5.2 |      |                   |      |      |      |      |  |